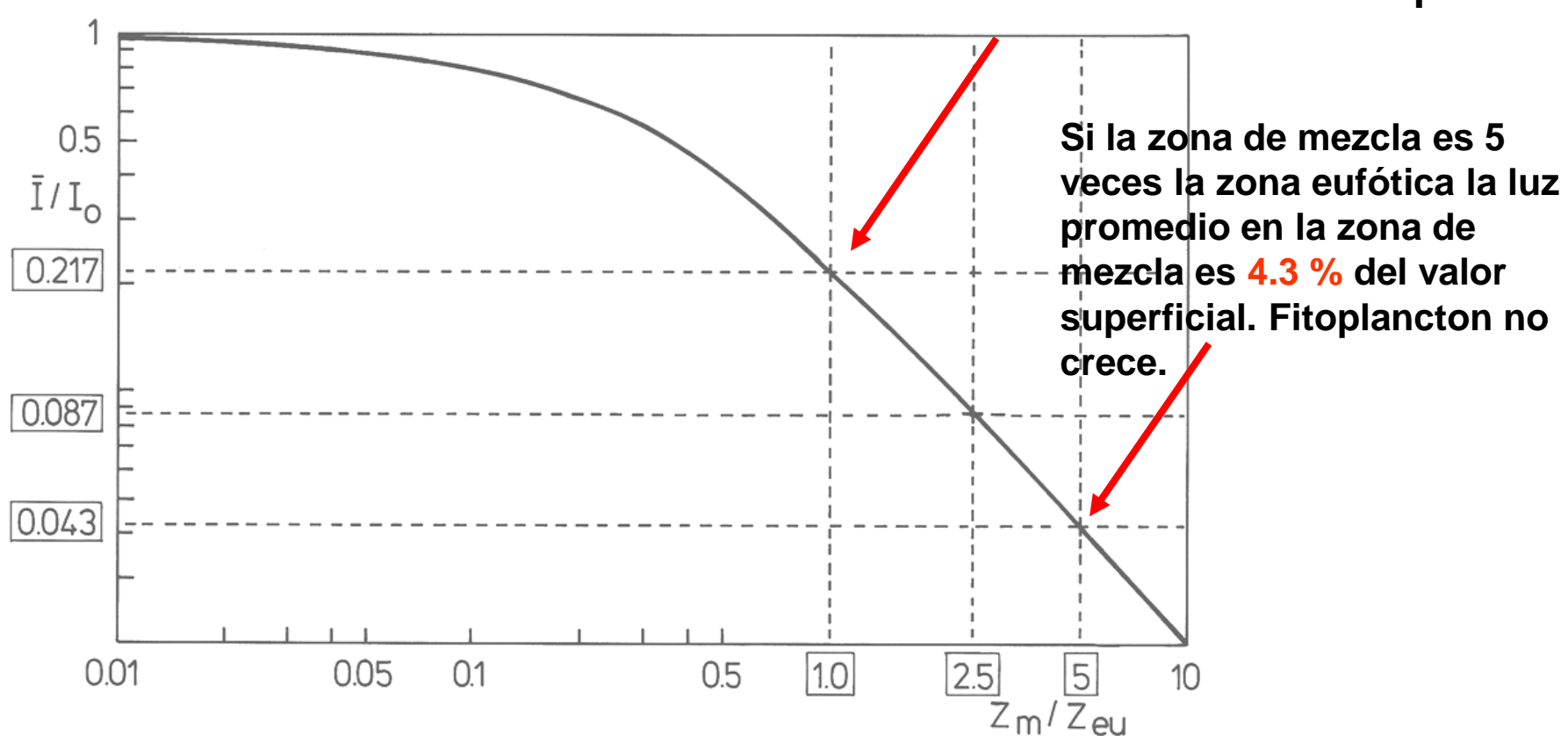


Fig. 10.1 Schematic diagram showing some of the weather-related factors that influence the physical dynamics of lakes and the growth of phytoplankton in: (a) winter and (b) summer.

### la cantidad promedio de luz disminuye a medida que aumenta la zona de mezcla

Luz es 21.7 % del valor superficial



Mezcla profunda..... menos luz promedio que recibe el fitoplancton

### PROJUCTIVIDAD PRIMARIA

REYNOLDS, (1984 The ecology
of freshwater phytoplaukton
Cambridge Studies in ecology
JEWSON, D 1984 Measurement

[H]+[0] radiation in prenturates

7. Plankton Research 6(2) TALLING J, 1973 The

production by phytoplankton endena from Etiopian soda lake. Freshwat Biol 3:53-

Joule (S.I.)

Dina-fuega sobre 1 masa de 1 que produce una aceleración de 1 cm / seg

Eng - Eliberada por 1 Dina achiando sobre

1 cm

10 000 000 -> 1 jaule 1eng-10-7]

1 Watt = 1 3/s

caloria (91) 191 agua en 100 Hay 4.27 en 1 cal

Cuanta (fotones) E relacionada um 7 <> 450

hr r= 1/2 E= 1/2 r= frequencia h. const planck

el contenido E de potones (680 mm) = vel luz d= long orda en de 42 K cal 6×10=3... No de Avoque dro

mol de ploces - 1 Einstein

Radiación-LUZ

5% eficiencia Pierde al espacio En el medio RFU



### Asimilación de Carbono: Método del <sup>14</sup>C





Fotosintesis calculada como:

$$P = (R_L - R_D) \times [CO_2] / (R \times t)$$

P = Fotosintesis

R = radioactividad añadida

R<sub>i</sub> = radioactividad en (L)

R<sub>n</sub> = radioactividad en (D)

[CO<sub>2</sub>] = concentración total CO<sub>2</sub>

en el agua

t = tiempo de incubación

## Parámetros básicos de la producción biológica

- Biomasa (B) [M vol<sup>-1</sup>, M área<sup>-1</sup>]
- Producción (P) [M vol<sup>-1</sup> tiempo<sup>-1</sup>, M area<sup>-1</sup> tiempo<sup>-1</sup>]
- Turnover-recambio (PB) [P/B, tiempo-1]
- Pérdidas (L) [M vol<sup>-1</sup> time<sup>-1</sup>, M área<sup>-1</sup>tiempo<sup>-1</sup>]
   Biomasa dada como carbono (10-12 % peso fresco), o clorofila

Producción dada como fijación de carbono o evolución de oxígeno

! Producción actual (standing crop)
 Biomasa en un cierto volumen de agua o área en un tiempo determinado

! Densidad (Standing stock)Número de organismos por unidad de área o volumen

 ! Biomasa
 Peso total de todos los organismos en un área dada o volumen

 ! Biovolumen
 Volumen total de todos los organismos en un área o volumen

### PP como un proceso de dos etapas

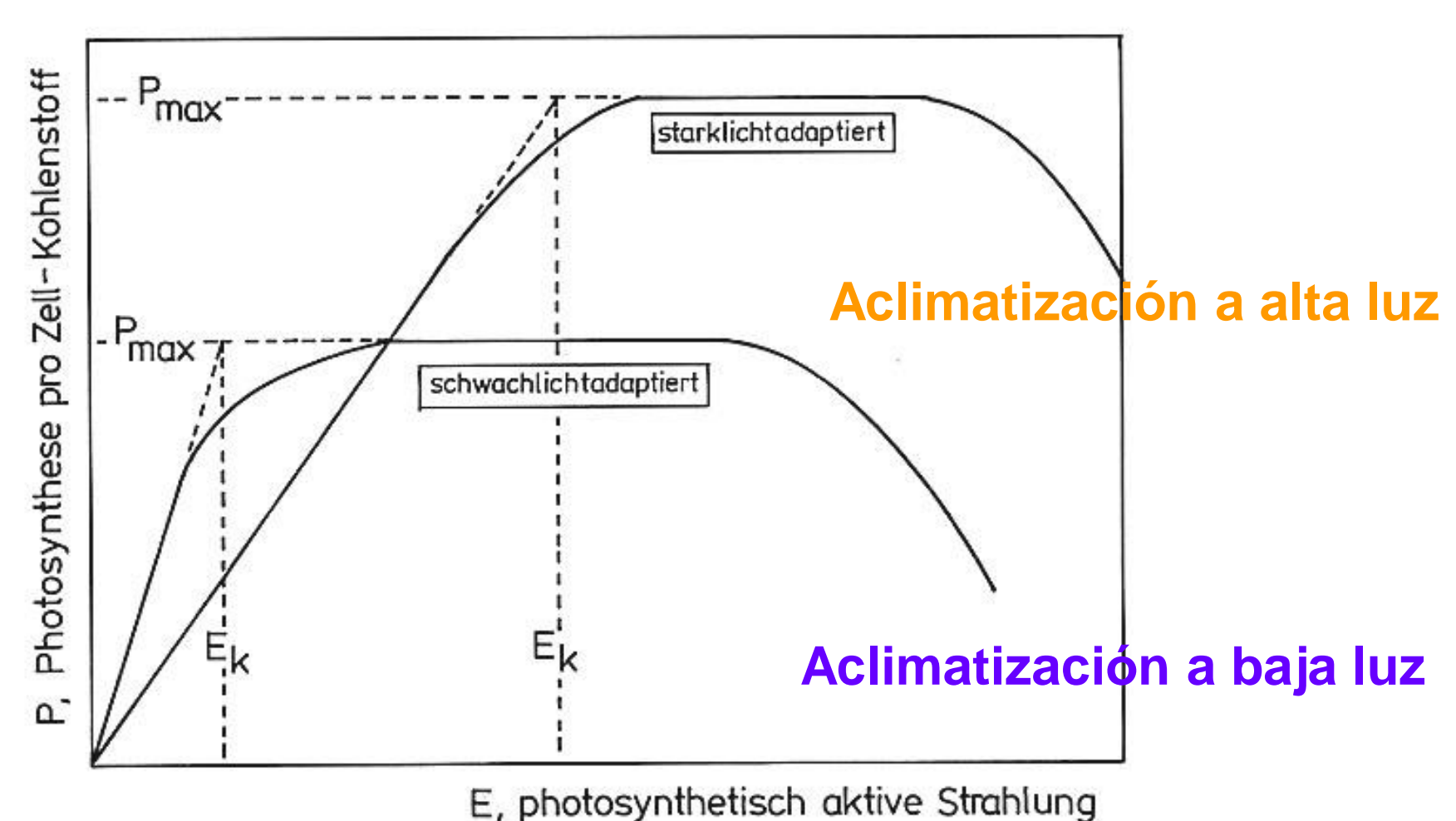
### 1. Fotosíntesis:

$$CO_2 + H_2O$$
  $CH_2O] + O_2$ 

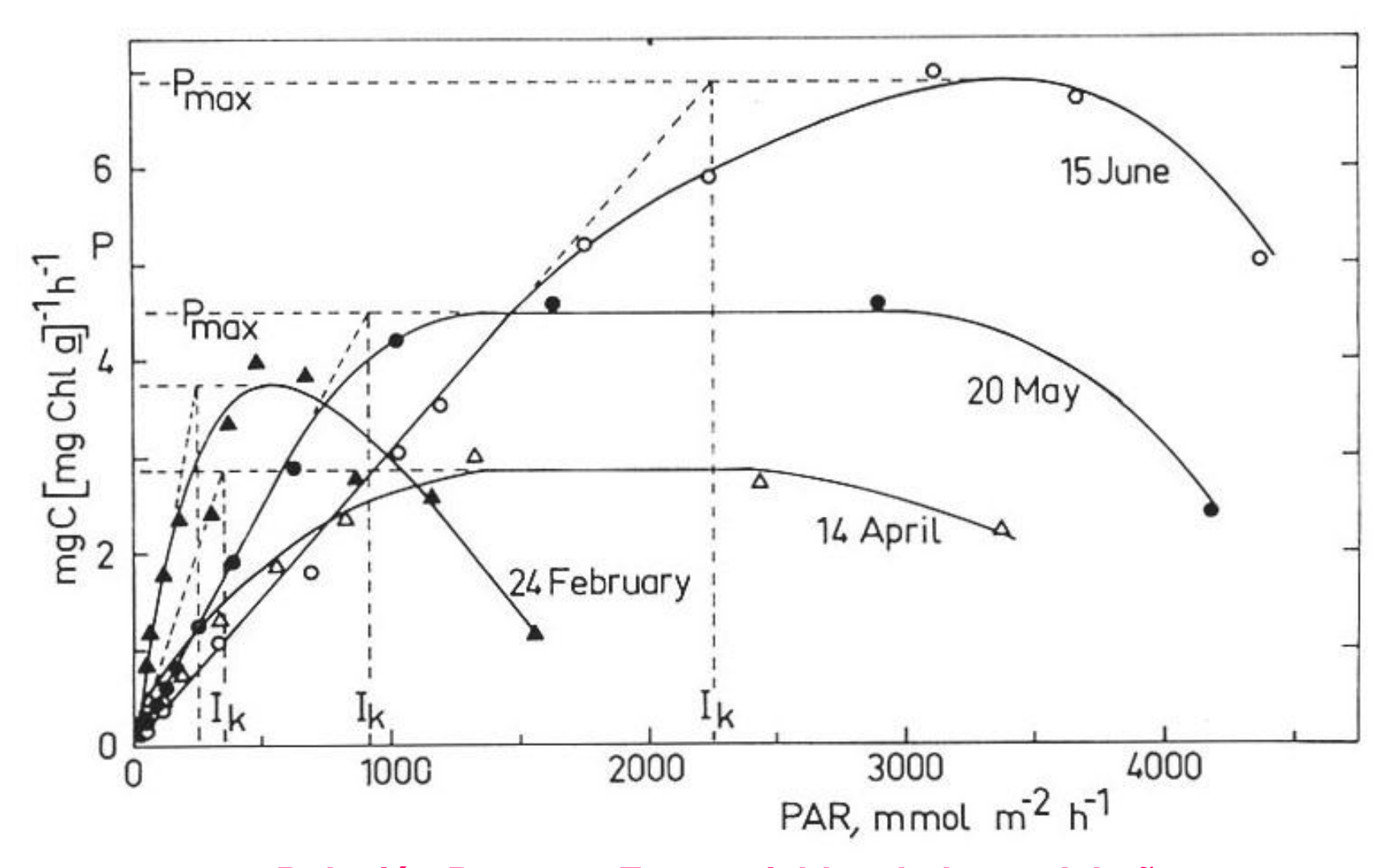
### 2. Biosintésis (reducción del oxígeno):

$$C_{106} H_{180} O_{45} N_{16} P + 159 CO_2 + 199 H_2 O$$

# Fotoaclimatización I especies sol especies sombra

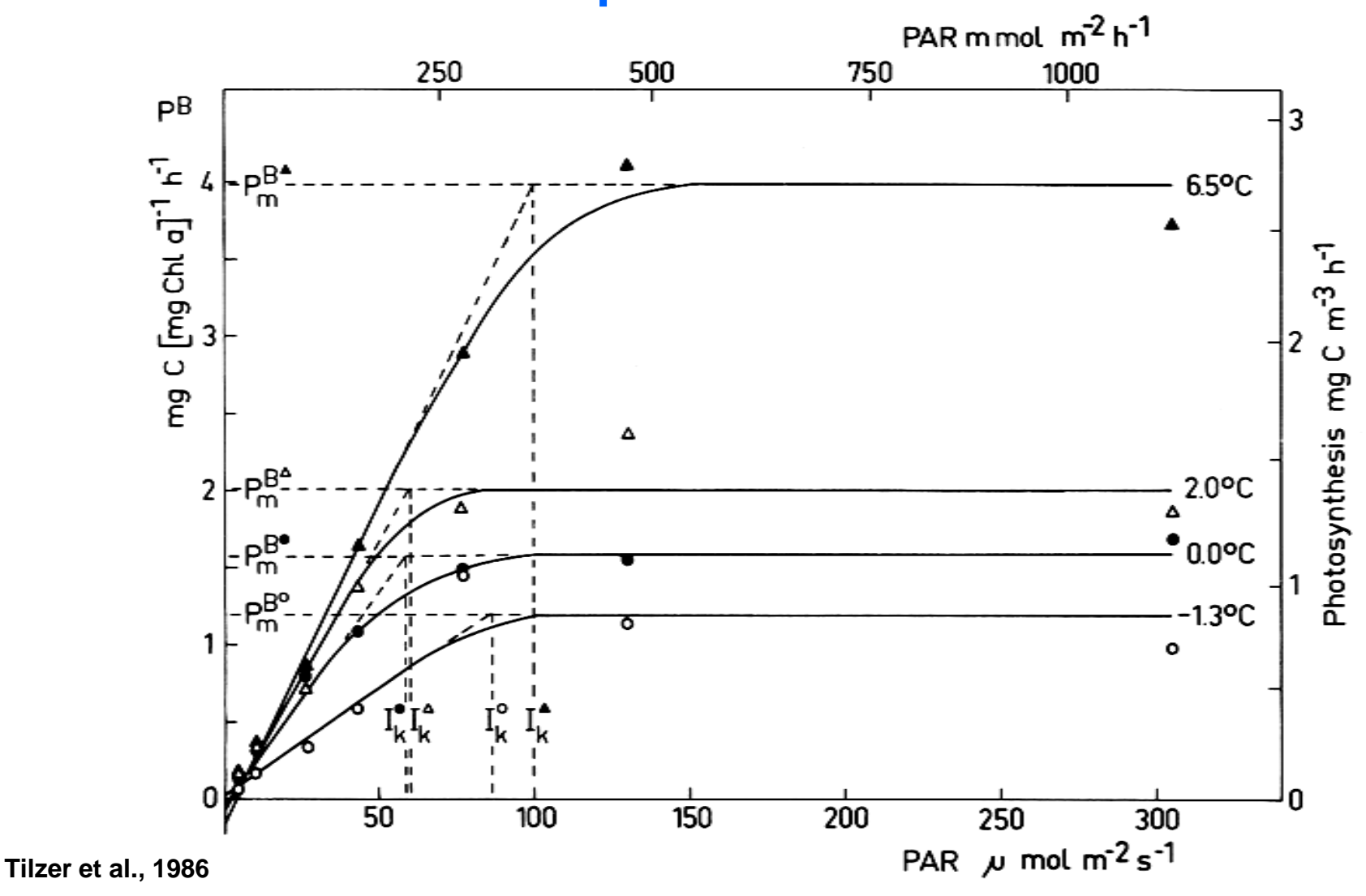


### Fotoaclimatización II



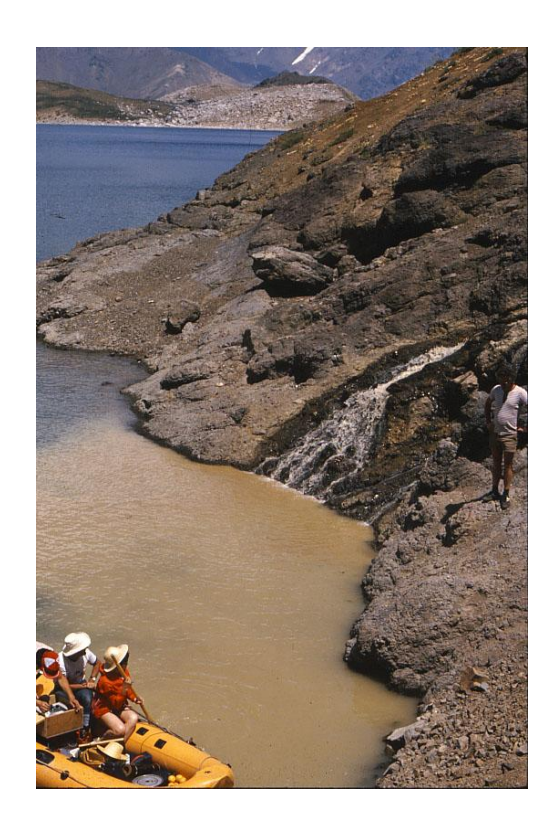
Relación P versus E es variable a lo largo del año

### Tanto PBmax como P limitada por luz son sensibles a la temperatura

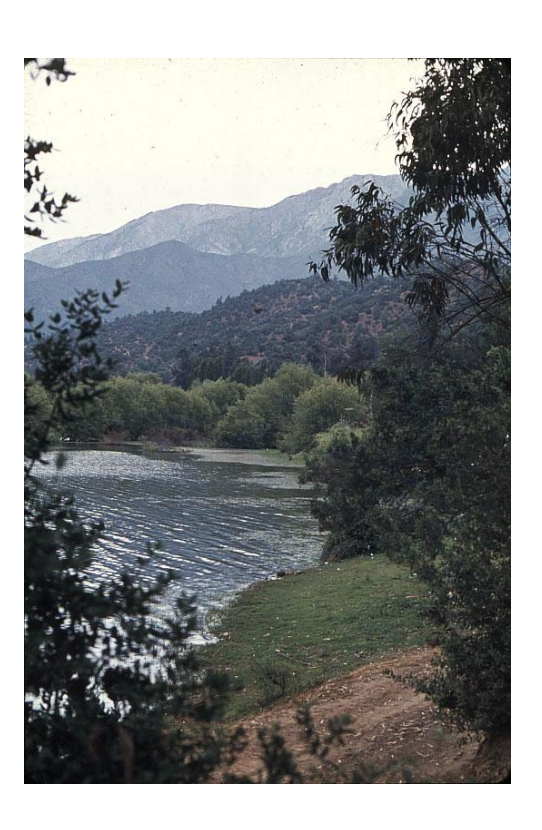


#### PP en ecosistemas chilenos

**1991 V. Montecino** Primary productivity in South American temperate lakes and reservoirs. Revista Chilena Historia Natural 64: 555-567.







Valores mínimos y máximos de ∫PB, ∫P, y estimaciones de fijación anual de carbono en lagos y embalses templados de Sud-America. Se incluyen tambien datos de ∫P y P anual para otros sistemas.

	Lake/Reserveir#	<b>  PB</b>			<b>∫P</b> mg C m−2 h−1			Annual carbon fixation q C m-2 y-1	
		min	mgcnia) - i iii - 2 max	mean	min	max	mean	g c 111-2 g	'
	CHILE	111111	IIIdA	modii	******	IIIdx	moun		
		7.2	29.4	19.2	1.7	22.7	12.4	40.7	
	Laguna Negra	0.3	15.4	4.3	25.3	1233.0	237.0	778.5	
	Aculeo	4.3	148.0	51.5	8.6	49.6	27.0		
	El Yeso*			10.1		428.1	149.9	150 492.4	
	Rapel*	2.0	26.5		1.0 3.1	228.7	84.6	181.6	4200
	Yillarrica	3.1	129.5	41.4			80.9	173.6	2 200
	Riñihue	16.0	344.5	125.6	53.4	127.5			
	LLanquihue	4.0	350.6	66.1	3.5	94.1	31.7	68.0	
	Todos Los Santos	6.0	60.2	22.0	4.7	11.3	6.4	13.7	
•	Toro (1)	11.9	19.8	15.9	4.3	8.1	6.2	32 11.4	
	ARGENTINA								
	Pellegrini*	19.1	59.4	35.3	19.9	69.6	36.3	7 <b>7.9</b>	
	Mascardi (2)	_	-	15.8	10.6	29.6	20.1	43.1	
	Guillelmo (2)	-	_	54.7	-	-	16.4	35.2	
•	Hess (2)	-	-	56.4	-	-	29.3	63.0	
	ANTARCTIC								
•	Kitiesh (1)	20.1	33.2	26.7	5.3	39.08	22.05	34.5	
	OTHER SYSTEMS								
	Inland aquatic ecosystems Likens (1975)				-	-	-	2.0-950.0	
	47 lakes	Hammer (1980)						8.3->1000	
	1 4 Lakes	Yincent et al (1986)			10.0	414.0	103.0	_	
	Mono Lake	Jellisson & Melack (1988)			-	-	_	540.0	
	Marine Environments	00.110	Kelly (1989)	,	-	-	-	350.0	
	1 = two data 2 = one da	te							

-100

Fee et al 1992 Can. J Fish & Aq Sc Effects of lake size on phytoplankton photosynthesis

Marcas en el eje corresponden a mayo y diciembre

\*Aporte de nutrientes \*Reciclamiento \*Área-epilimnion \*Precipitaciones

L373 tiene 29 ha Lago Superior tiene 8 millones de ha

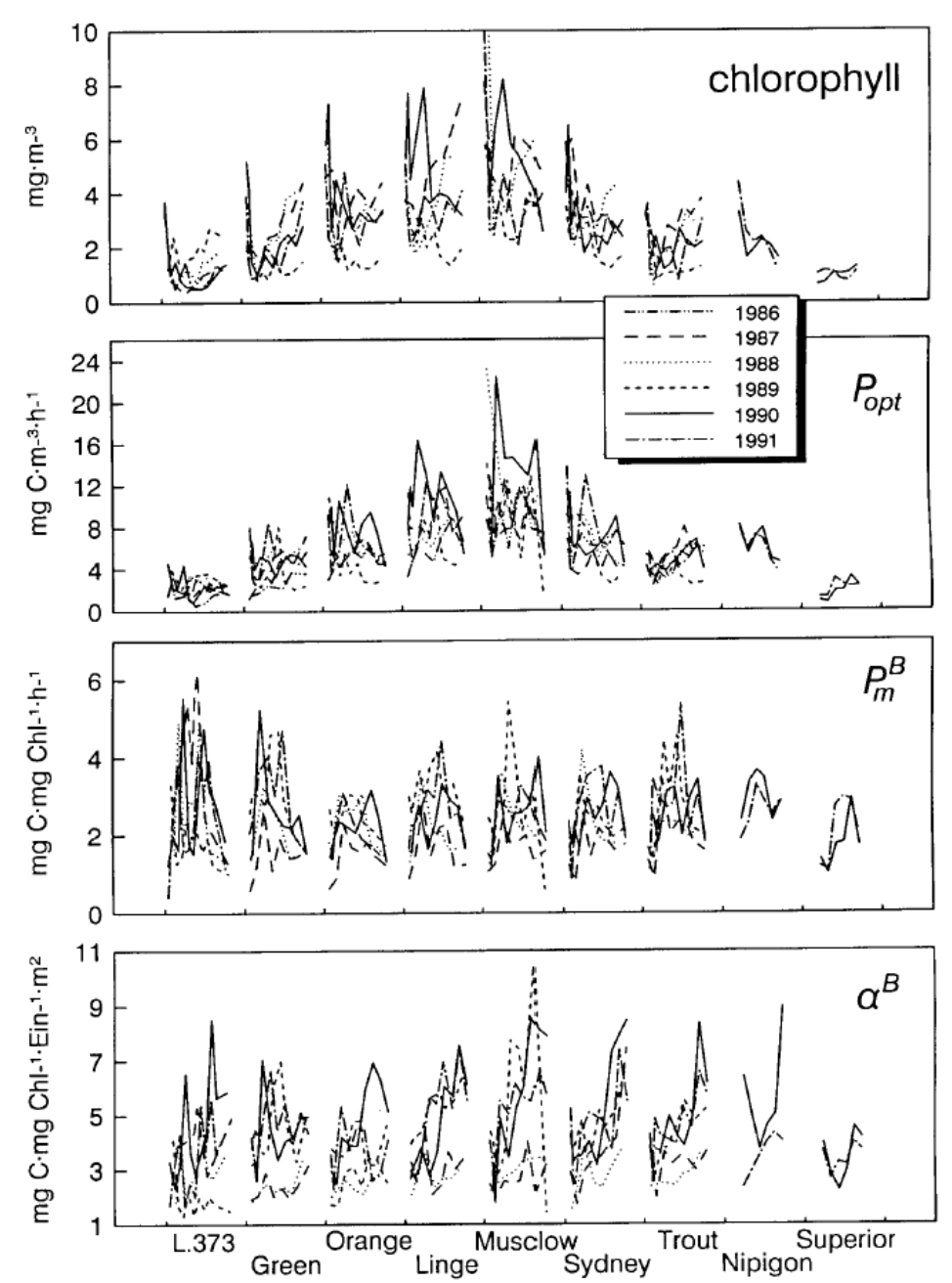


Fig. 4. Variations of chlorophyll,  $P_{opt}$ ,  $P_{m}^{B}$ , and  $\alpha^{B}$  during the ice-free season in lakes varying in size from 29 ha (ELA L.373) to 8 223 600 ha (Superior). The marks on the horizontal axis correspond to May 1 and December 1.

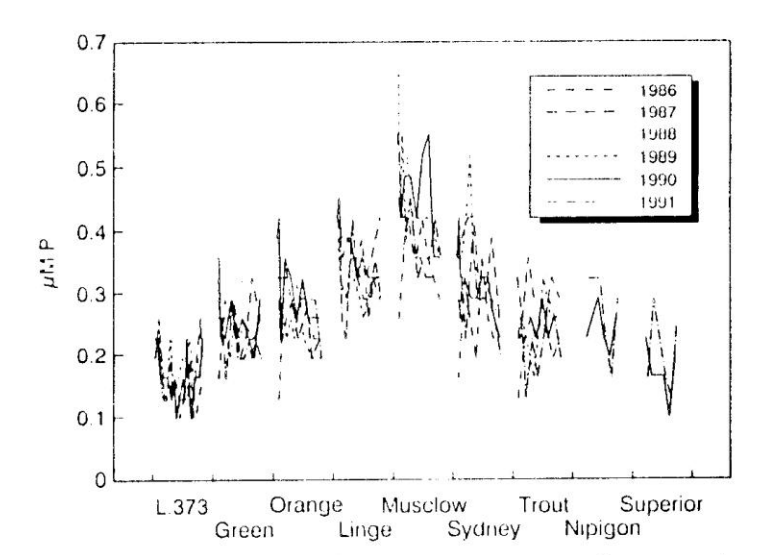


Fig. 15. Variations of total phosphorus during the ice-free season in lakes varying in size from 29 ha (ELA L.373) to 8 223 600 ha (Superior). The marks on the horizontal axis correspond to May 1 and December 1.

### Daily areal mixed-layer photosynthesis

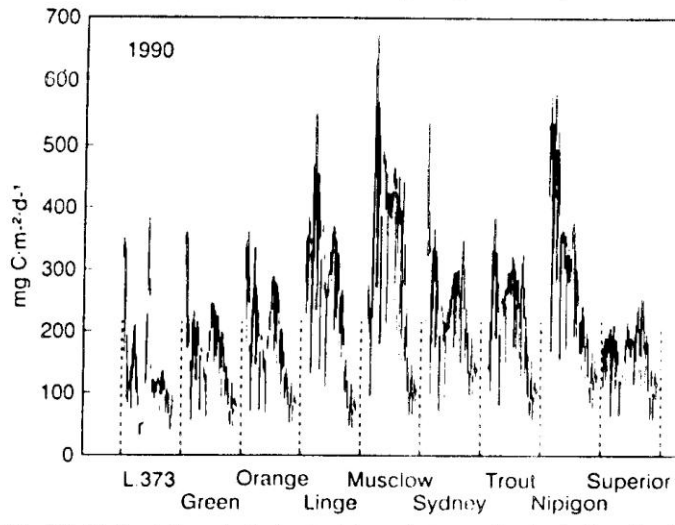


Fig. 10. Daily integral phytoplankton photosynthesis during the is free season of 1990 in lakes varying in size from 29 ha (ELA L.3" to 8 223 000 ha (Superior). The marks on the horizontal axis corspond to May 1 and December 1.

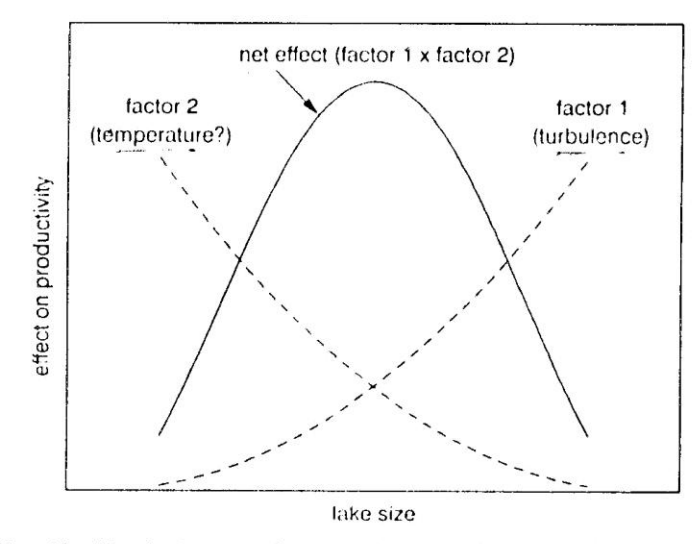


Fig. 13. Simple theoretical model showing why productivity could logically be a function of lake size.

tee et al 1992

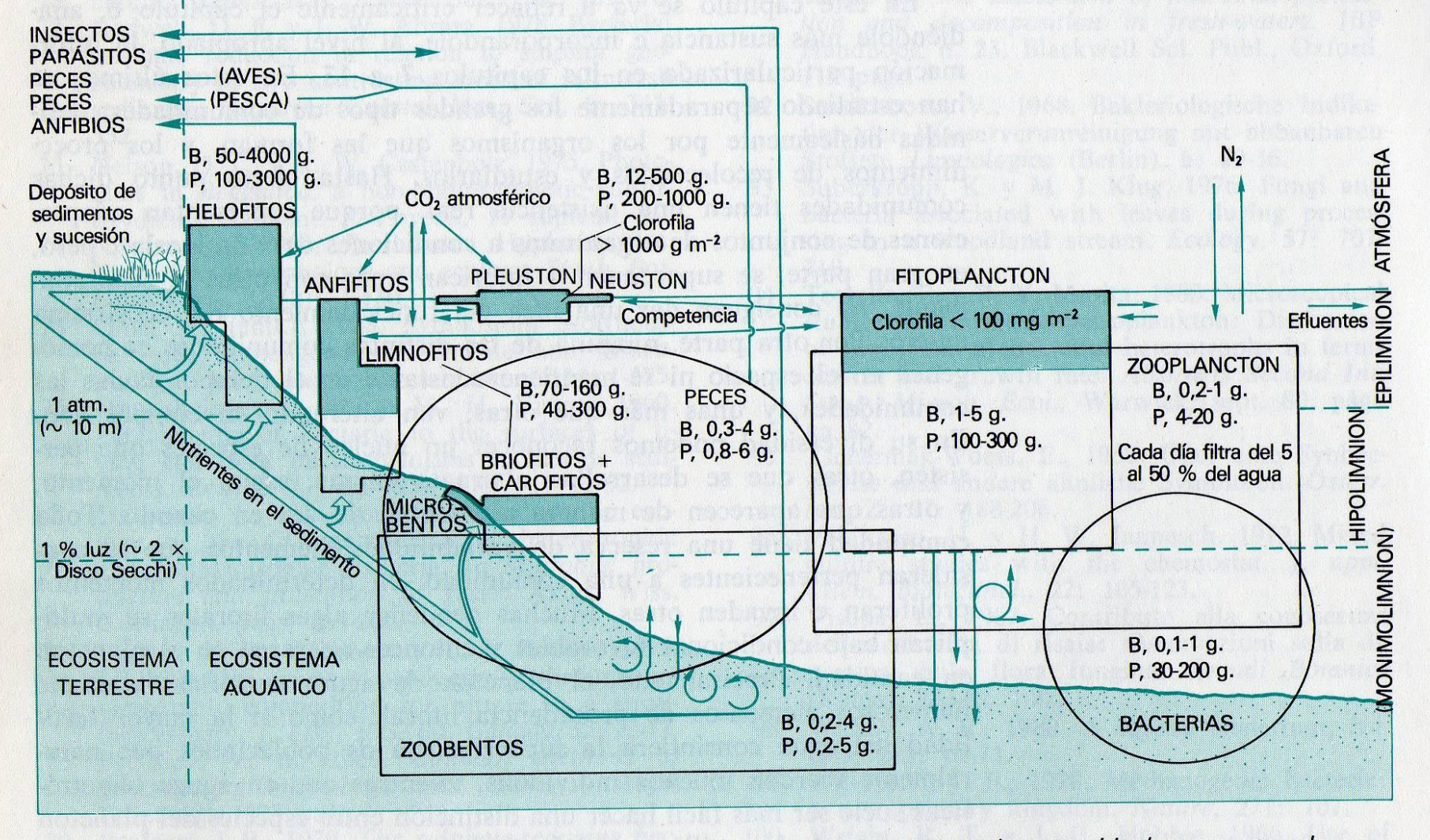
La fotosíntesis del fitoplancton Muestra perfiles verticales característicos controlados por

Gradiente vertical de la luz subacuática y La relación luz-fotosíntesis

La fotosíntésis se extiende hasta ca. 1 % de la irradiancia superficial (zona eufótica, Zeu)

#### **HELOFITOS ANFIFITOS** Observación **LIMNOFITOS** directa Uso de CO2 atmosférico PLEUSTON NEUSTON Cuadrados Redes PLANCTON GRAVEDAD-LUZ 10 m Gradientes Termoclina Migración Pérdida Muestras de agua **HERPON** neta **PSAMMON** EJE (en arena) **PERIFITON** Comunidades de **PELON** carófitos y musgos (en fango) **PECTON** Cilindros de sedimento Dragas **PLOCON BENTOS ENDOBENTOS** MICROPECTON **BENTOS PROFUNDO**

Figura 6-9 Tipos generales de comunidades que se pueden reconocer en un lago y técnicas de prospección usadas en su estudio. Compárese con la figura 14-1, donde algunas de las propiedades de las distintas comunidades están cuantificadas.



**Figura 14-1** Representación esquemática de un ecosistema lacustre ideal, que se puede considerar superpuesto al de figura 6-9, y en el que se dan límites razonables, basados en el examen comparativo de valores publicados, para las biomasas (gC m $^{-2}$ ) de distintos compartimentos y para los flujos. La biomasa total, según este esquema, sería entre 52 y 117 g C m $^{-2}$ , y la producción primaria entre 200 y 500 g C m $^{-2}$  año $^{-1}$ . A estas cifras conviene añadir que la materia orgánica detrítica sería probablemente unas diez veces superior a la biomasa (entre 500 y 1000 g C m $^{-2}$ ) y la materia orgánica disuelta más elevada todavía. Las pérdidas del ecosistema por extracción de organismos, se podrían estimar en 1 g C m $^{-2}$  año $^{-1}$  con los insectos adultos, 0,1  $^{-1}$  g C m $^{-2}$  año $^{-1}$  con alimento extraído por las aves, en su caso 1 g C m $^{-2}$  año $^{-1}$  en el cuerpo de anfibios adultos. En cuanto a la pesca eiercida por el hombre podría llegar hasta 1  $^{-1}$  5 g C m $^{-2}$  año $^{-1}$ . Parte del carbono

### Mediados del siglo XX

Es probable que no se considerara la respiración como ecológicamente importante.

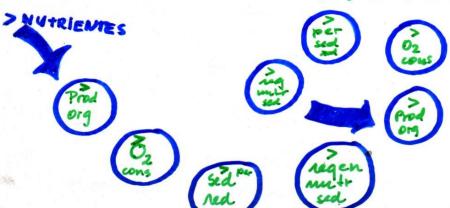
La respiración de heterótrofos era considerada modesta y de poca significancia biogeoquímica.

La respiración de los autótrofos solo incidía en las estimaciones de productividad neta.

Los pioneros fueron investigadores rusos, las bacterias jugaban un papel importante en el ciclo del carbono: altas tasas de "destrucción" de la materia orgánica ( > tasas de metabolismo heterotrófico).

Surgimiento de la ingeniería sanitaria.

EUTROFICACION enrique cimiento de nutrientes alta production dad primaria desarrollo de florecimientos microalgales Production = descomposicion ESTABILI DAD COLAPSO - progreso de la actividad de depleción de oxígens mortalidad de yecos HIPER ENTROFIA PERTUR BACION Desarrollo de algas "nosiran" cambios en la calidad del agua " ciclos diarios y estacio uales En su mayora - lagos son Eros no estrablicados <intercambio y renovación HEO NUTRIENTES - maurimento fuentes difusas y freática N:P Dis minuge la hans pavencia - Bloom 50, 1-1 Cl Seccli 1 m 02 > 20 mg l Om to 20°C NH3-N 2000 mg 1-1 > NUTRIENTES



### River continuum (Vannotte 1980)

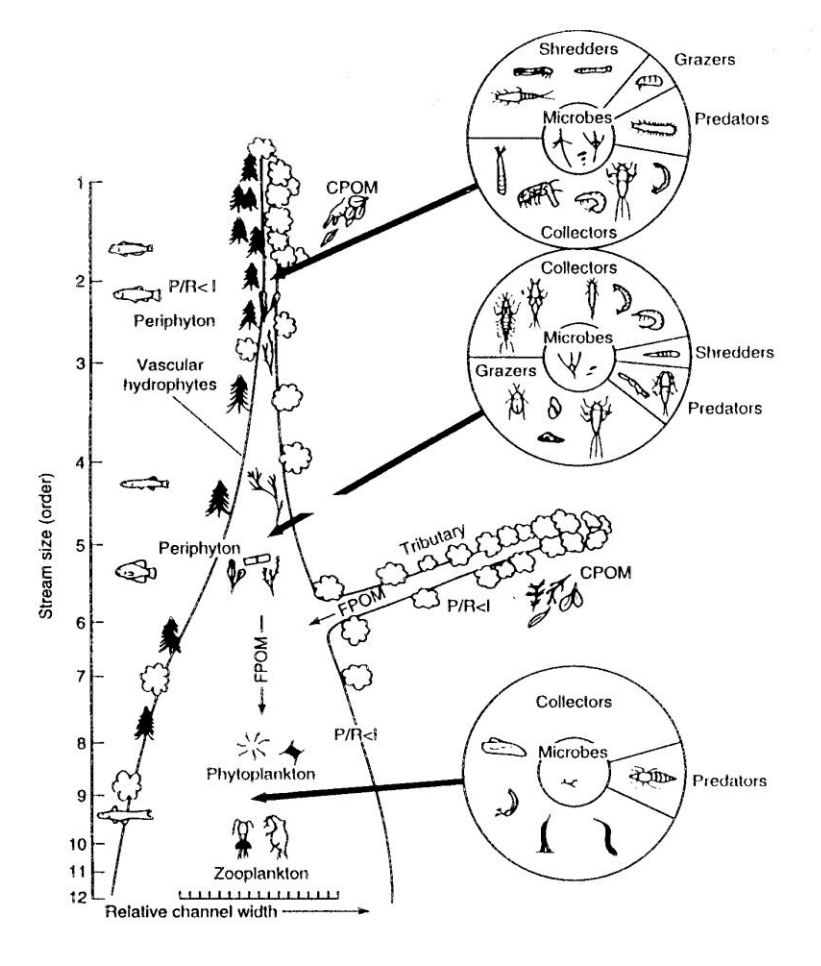
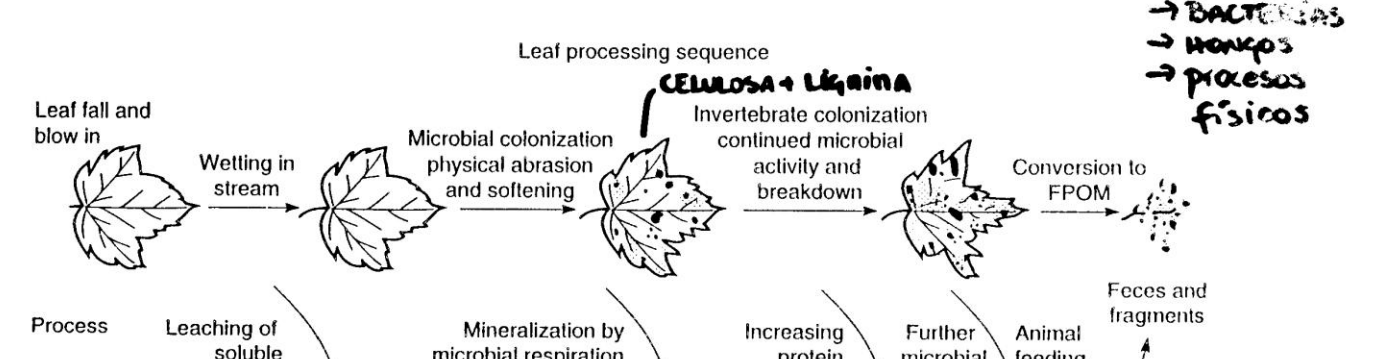
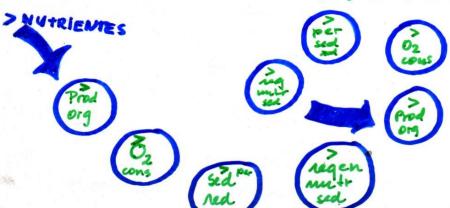


FIGURE 12.7 Generalized depiction of the relationship between stream size (order), energy inputs and ecosyste function expected under the river continuum concept. (From Vannote et al., 1980.)



EUTROFICACION enrique cimiento de nutrientes alta production dad primaria desarrollo de florecimientos microalgales Production = descomposicion ESTABILI DAD COLAPSO - progreso de la actividad de depleción de oxígens mortalidad de yecos HIPER ENTROFIA PERTUR BACION Desarrollo de algas "nosiran" cambios en la calidad del agua " ciclos diarios y estacio uales En su mayora - lagos son Eros no estrablicados <intercambio y renovación HEO NUTRIENTES - maurimento fuentes difusas y freática N:P Dis minuge la hans pavencia - Bloom 50, 1-1 Cl Seccli 1 m 02 > 20 mg l Om to 20°C NH3-N 2000 mg 1-1 > NUTRIENTES



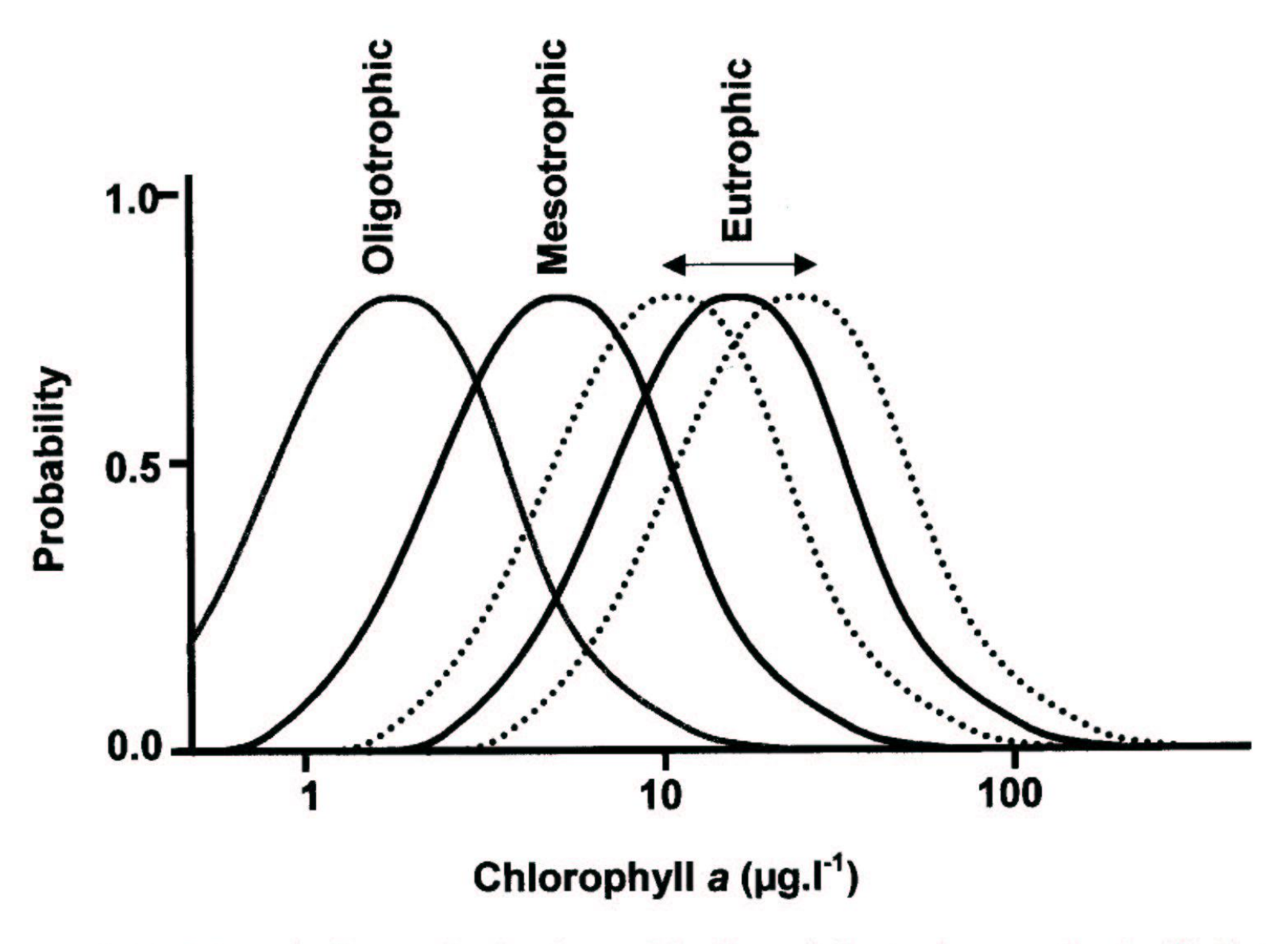


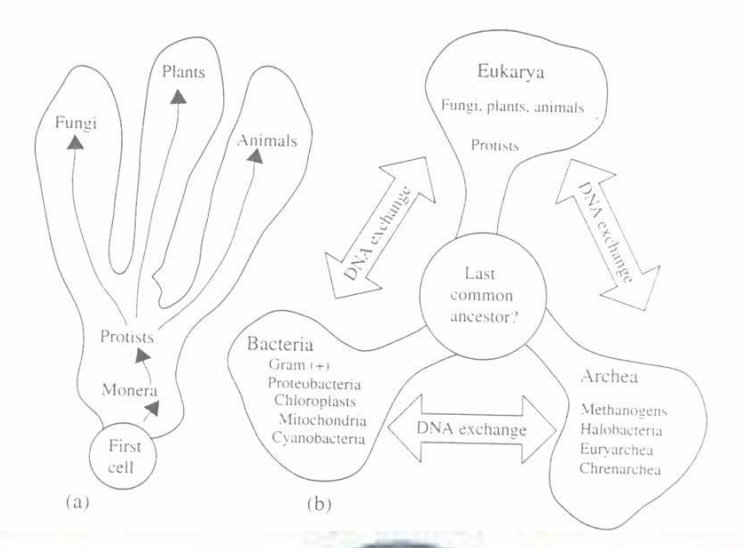
Fig. 10.13 Schematic diagram showing the possible effects of climate change on the classification system used to assess the trophic status of lakes. The solid curves show the historical limits defined by the OECD. The broken curves show the climate-related changes that could occur in lakes that are currently classified as eutrophic.





### **Lynn Margulis**

Sus aportes a la biología y el evolucionismo son múltiples: el origen de las células eucariotas (la SET, que considera su mejor trabajo); junto a K. V. Schwartz ha clasificado la vida en la tierra en cinco reinos agrupados en dos grandes grupos: bacterias y eucariotas; formuló su teoría sobre la simbiogénesis y la importancia de esta en la evolución; apoyó la hipótesis de Gaia de James E. Lovelock, contribuyendo a ella desde la biología e intentando que adquiriera categoría de teoría.



PLANTAE (Multicellular, eukaryotic)

(Multicellular, eukaryotic)

FUNGI (Multicellular, eukaryotic)

#### **PROTISTA**

(Eukaryotic, unicellular and multicellular)

(Unicellular, prokaryotic)

(Unicellular, prokaryotic)

#### FIVE KINGDOMS

An Illustrated Guide to the Phyla of Life on Earth

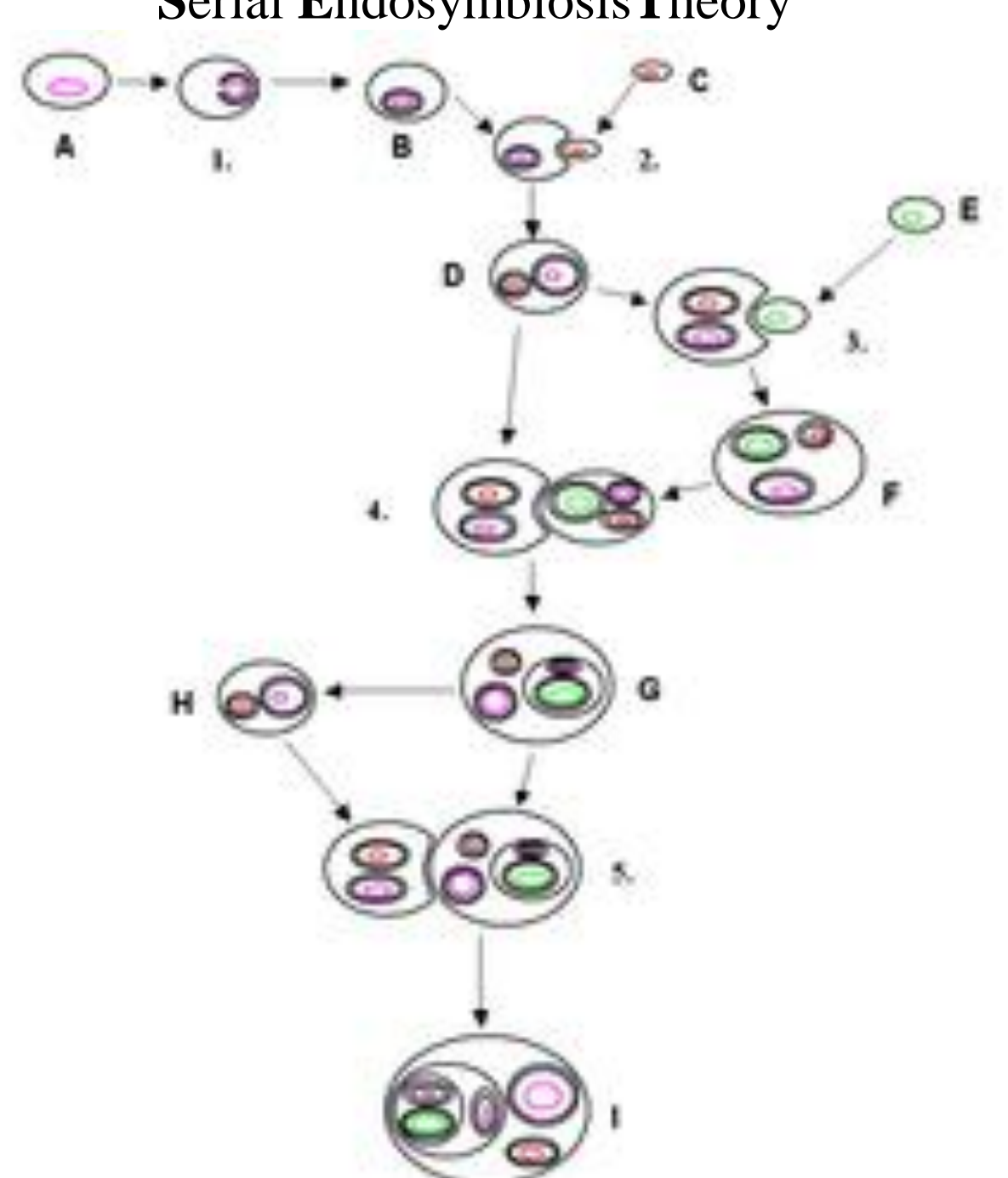
THIRD EDITION



LYNN MARGULIS and KARLENE V. SCHWARTZ

Foreword by STEPHEN JAY GOULD

Serial Endosymbiosis Theory



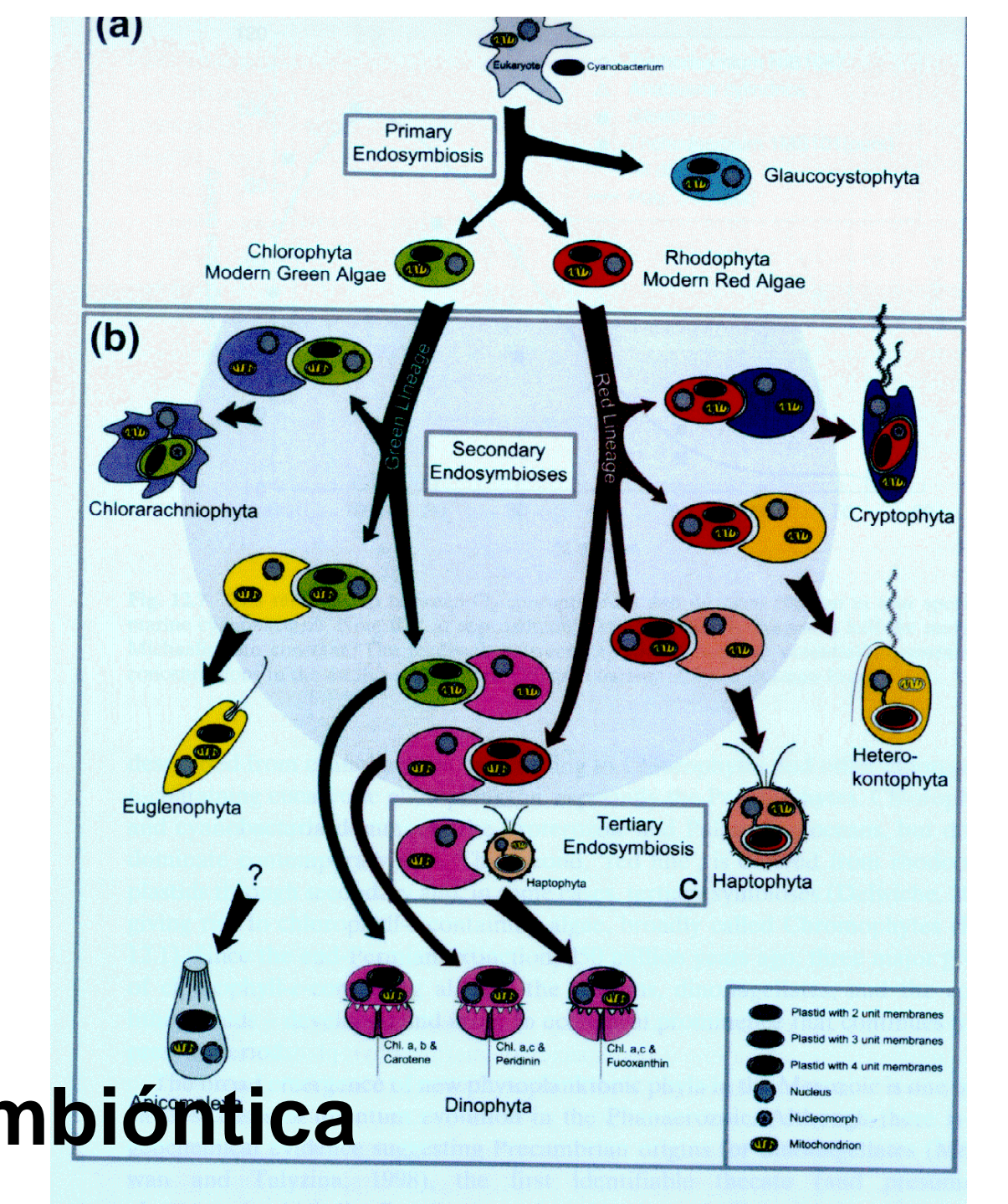
La Endosimbiosis seriada o teoría endosimbiótica, describe la aparición de las <u>células eucariotas</u> como consecuencia de la sucesiva incorporación <u>simbiogenética</u> de diferentes bacterias de vida libre (<u>procariotas</u>), tres en el caso de animales y hongos y cuatro en el caso de los vegetales.

La endosimbiósis seriada fue propuesta en diferentes artículos y libros: *On origen of mitosing cells* (1967), *Origins of Eukarnotia Calla* (1975) y Symbiosis in Calla

Eukaryotic Cells (1975) y Symbiosis in Cell Evolution (1981),¹ llegándose a conocer por el acrónimo inglés SET (Serial EndosymbiosisTheory). En la actualidad se acepta que las eucariotas surgieron como consecuencia de los procesos simbiogenéticos descritos por Margulis, una vez ha quedado demostrado el origen simbiogenético de las mitocondrias y los cloroplastos de los eucariontes

### Origen de plastidios en algas

- El origen de los plastidios es la endosimbiosis de una cianobateria o un ancestro de cianobacteria.
- 3 grupos primarios: clorofitas, rodofitas y glaucocistofitas que emergen a tiempos similares. Las otras algas emergieron por endosimbiosis secundaria (huésped que contenía un plastidio primario), euglenofitas, cryptofitas, cloroaracniofitas, cromofitas y apicomplexas.
- El origen de la clorofila b es procariótica.



Eucariontes: teoría endosimbióntica

# Lagos polares: prasinoficea, crisoficeas, criptoficeas, dinoflagelados, Euglenoides, haptofitas...se clasifican como ALGAS o ....Fitomastigoforos en el sub-reino Protozoa del reino Protista

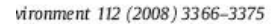
158 POLAR LAKES AND RIVERS

**Table 9.1** Photosynthetic taxa observed in the plankton of polar lakes. The Prasinophyceae, Chrysophytes, Cryptophytes, Dinoflagellates, Euglenoids, and Haptophytes are classified here as Algae, but elsewhere in this volume are classified as Phytomastigophora or the phytoflagellates within the sub-Kingdom Protozoa in the Kingdom Protista; for a recent classification of all microbial eukaryotes see Adl et al. (2005).

Taxonomic group		Common genera, Arctic	Common genera, Antarctic
Bacteria			
Cyanobacteria	Chroococcales	Aphanocapsa, Aphanothece, Chroococcus, Goeocapsa, Microcystis, Synectococcus, Woronkhina	Aphanocapsa, Chroococcus, Gloeocapsa, Synechococcus, Synechocystis
	Nostocales	Anabæra	Anahære
	Oscillatoriales	Oscillatoria, Phormidium, Planktothrix	Oscillatoria, Phormidium
Green sulphur	Chlorobia	Chibr abium, Pelodic tyon, Prosthecochiar's	Chlorabilum
Purple sulphur	Gammaproteobacteria	Thiocapsa, Thiocystis	Chromatium, Thibcapsa
Purple non-sulphur	Alphaproteobacteria		Rhodosphillum Rhodopseudomonas
	Betaproteobacteria		Rhodoferax
Algae			
Chlorophytes	Chlorophyceae	Ankyra, Botryococcus, Chiamydomonas, Oedogonium, Oocystis, Pediastrum, Scenedesmus	Ankyra, Chiamydomoras, Chioromonas, Dunaliella
	Klebsormidiophyceae	Stichococcus	Raphidonema, Stichococcus

Table 2 Unambiguous pigments in phytoplankton

Pigment	Algal-class	Refe
Divinyl chl-a and Divinyl chl-b	Prochlorococcus	Wri
Alloxanthin	Crytophyta	Wri
Perdinin	Type-I Dinoflagellata	Orn
Gyroxanthin diester	Type-2 Dinoflagellata	Orn
Prasinoxanthin	Type-3 Prasinophyta	Ege



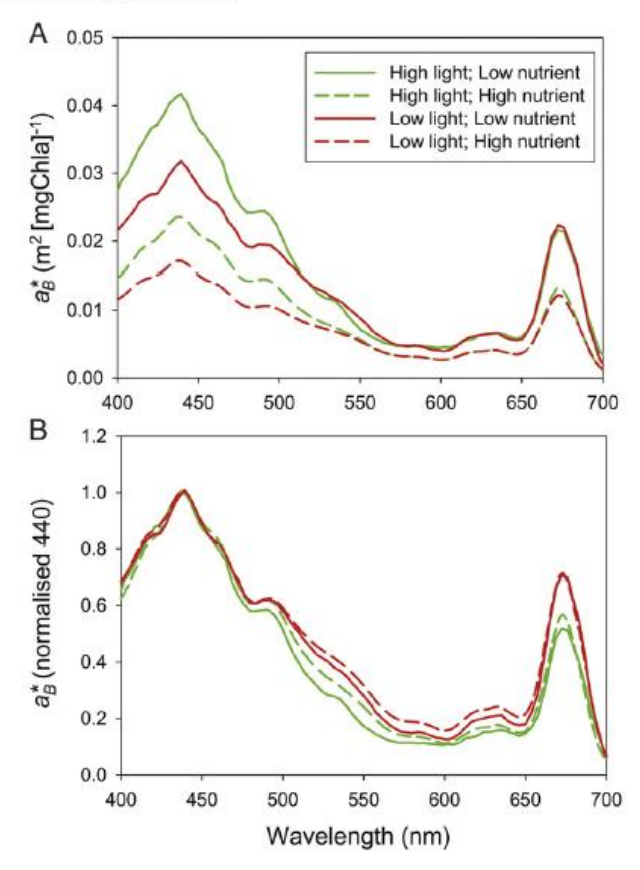


Fig. 3. Absorption spectra of laboratory cultures of a species of diatom, *Thalassiosira* pseudonana, grown under different light and nutrient regimes. (A) Spectra are normalised to the concentration of chlorophyll-a in the culture. (B) Spectra are normalised to

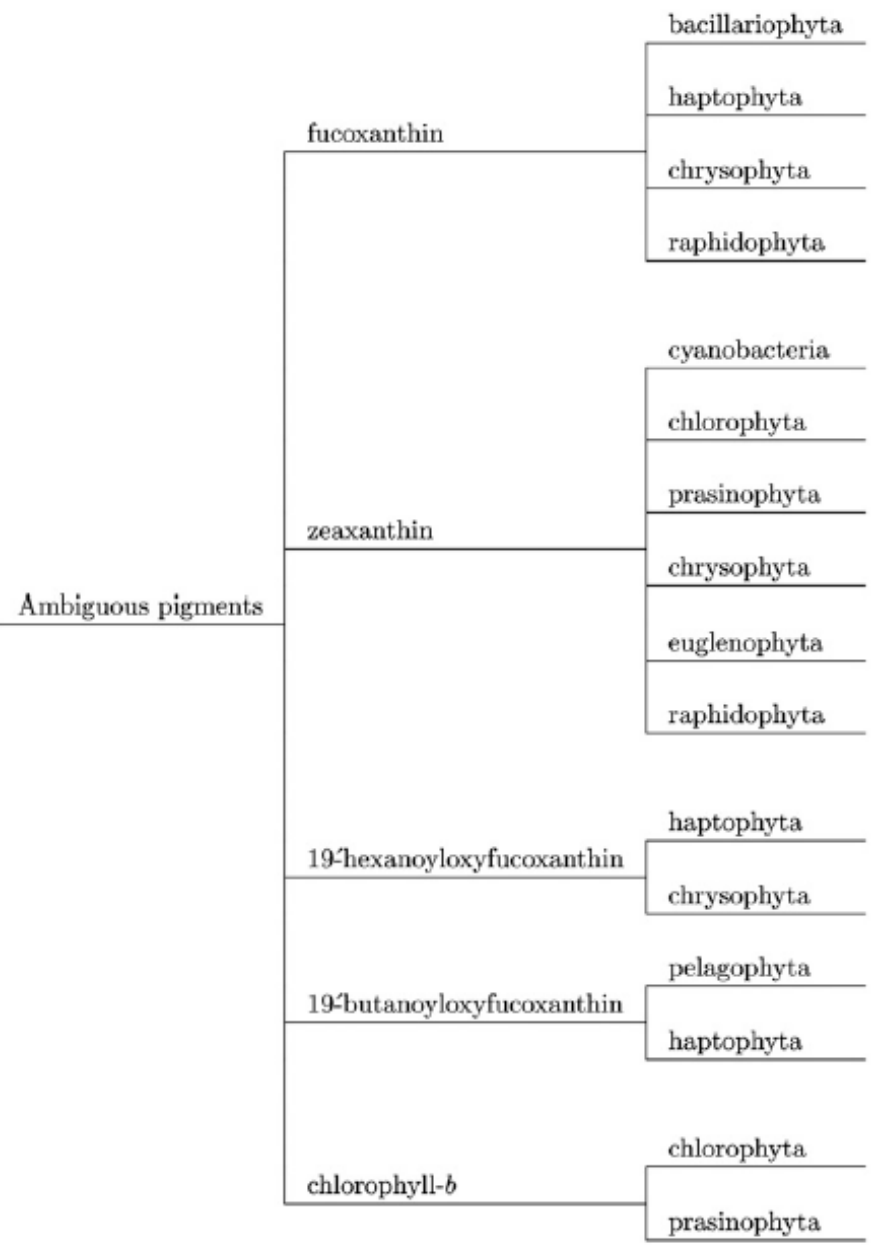


Fig. 1. Ambiguous markers for phytoplankton (summarised from Wright, 2005).

### **Fitoplancton**

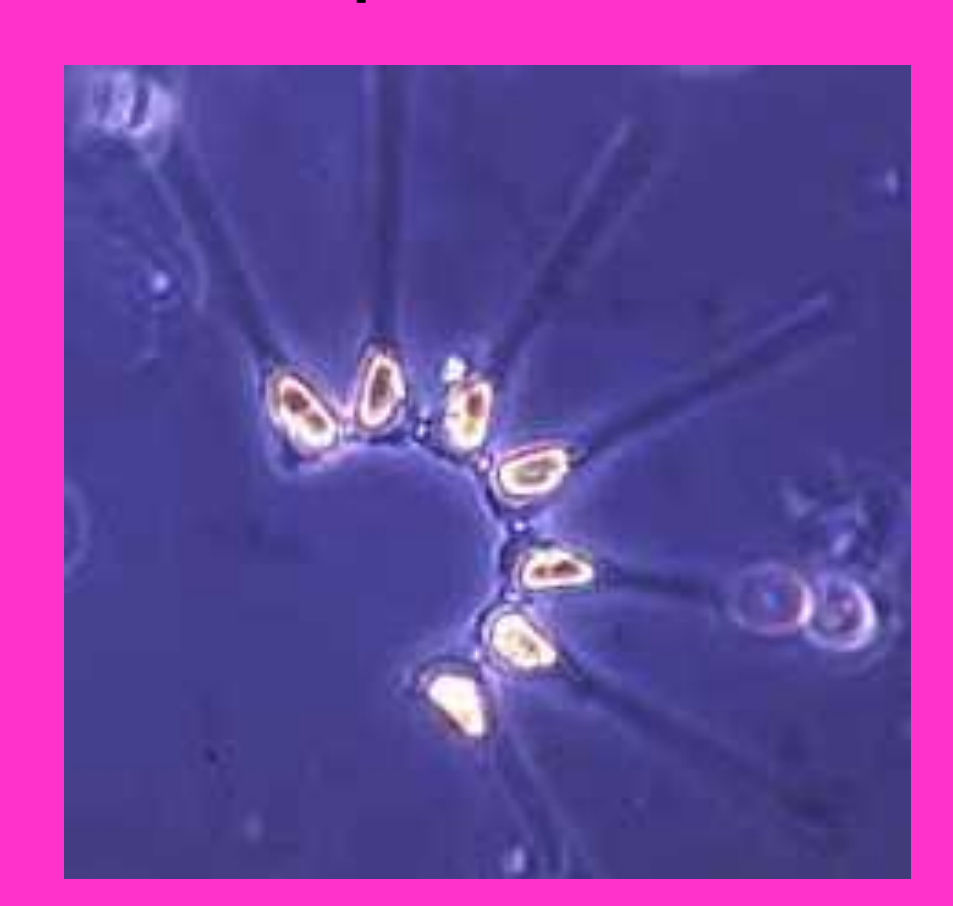
Fotolitotrófos: son la interfase entre lo no vivo y los sistemas vivos

Su abundancia tiene consecuencias para los

Herbívoros Reciclaje de nutrientes Descomposición Tramas tróficas

Ciclos biogeoquímicos

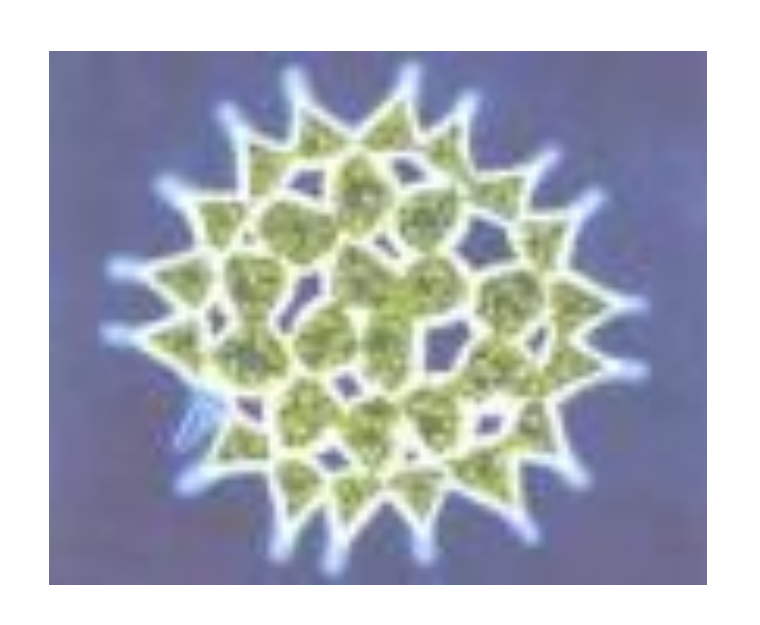
**CLIMA** 



El fitoplancton es responsable de una fijación de 50x10<sup>15</sup> gC por año que representa casi la mitad de la productividad neta global en la tierra.

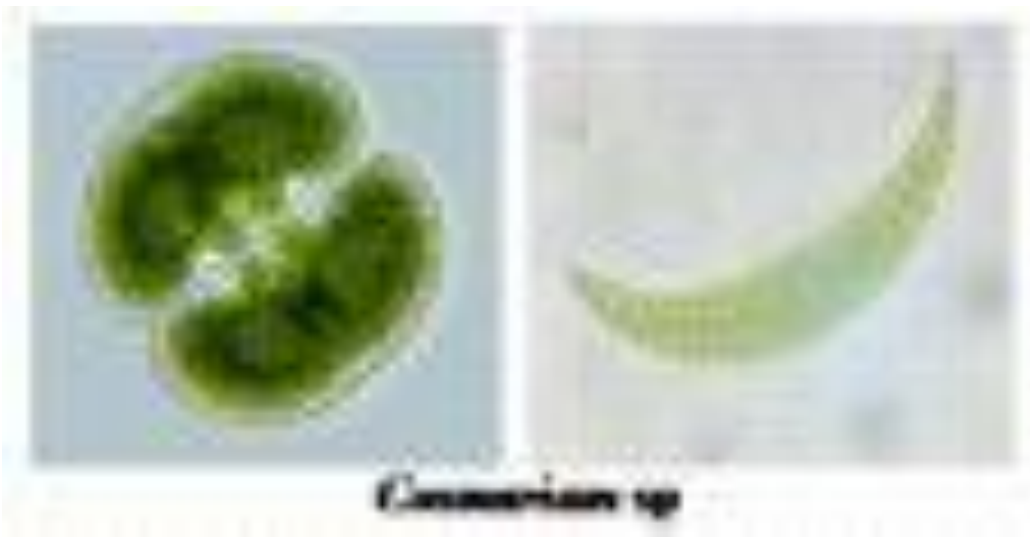
El fitoplancton regula el contenido de CO<sub>2</sub> de la atmósfera y afecta por lo tanto la variabilidad climática.

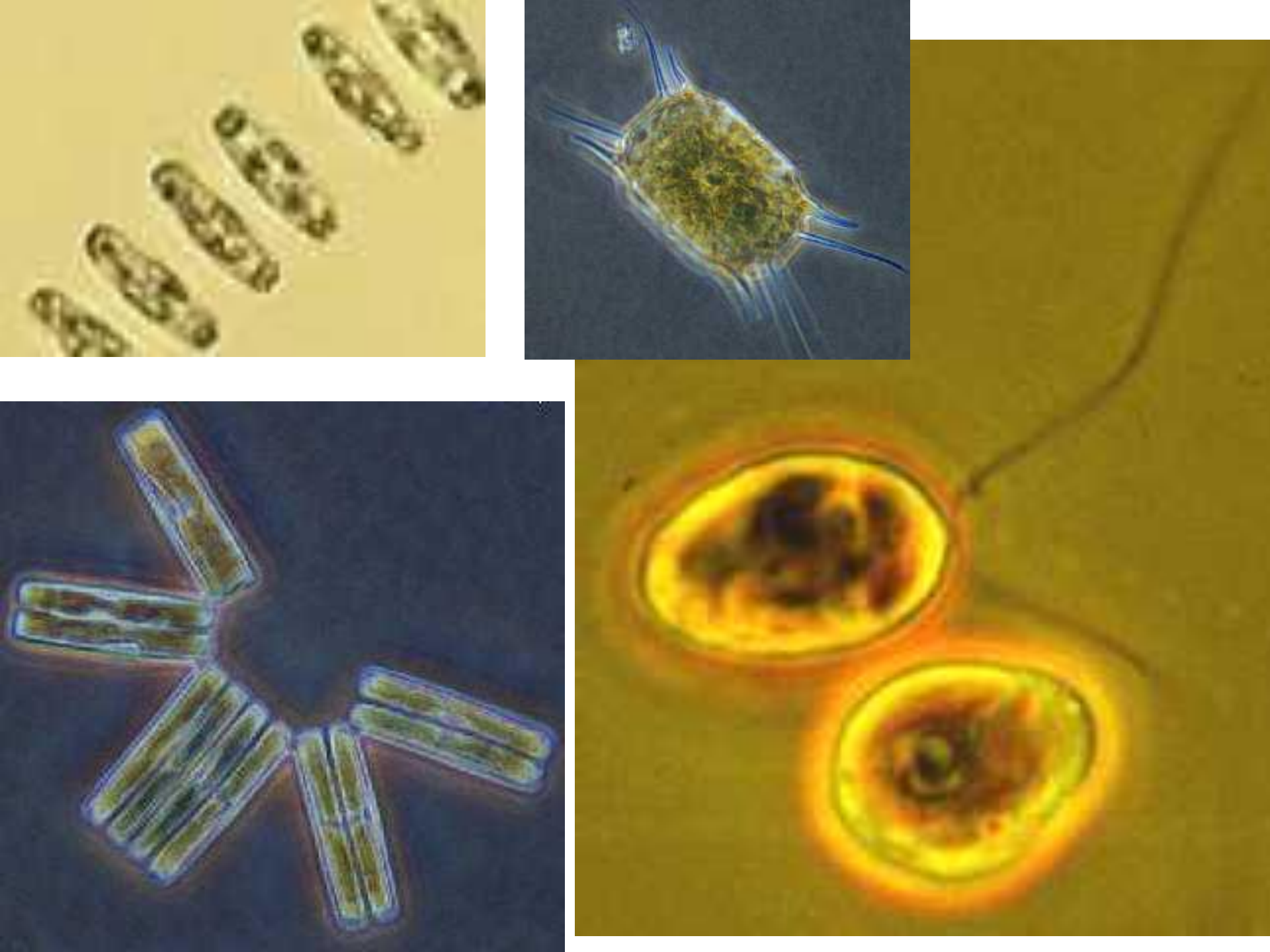


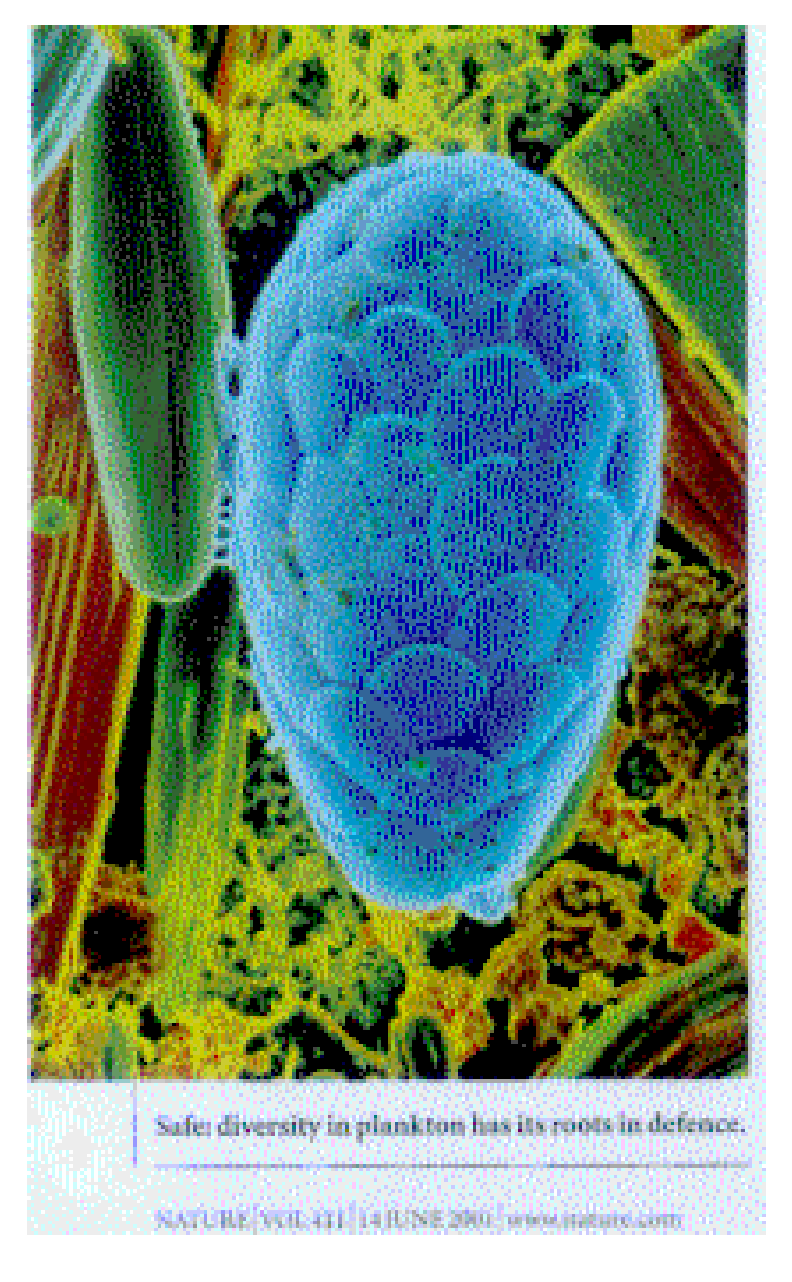


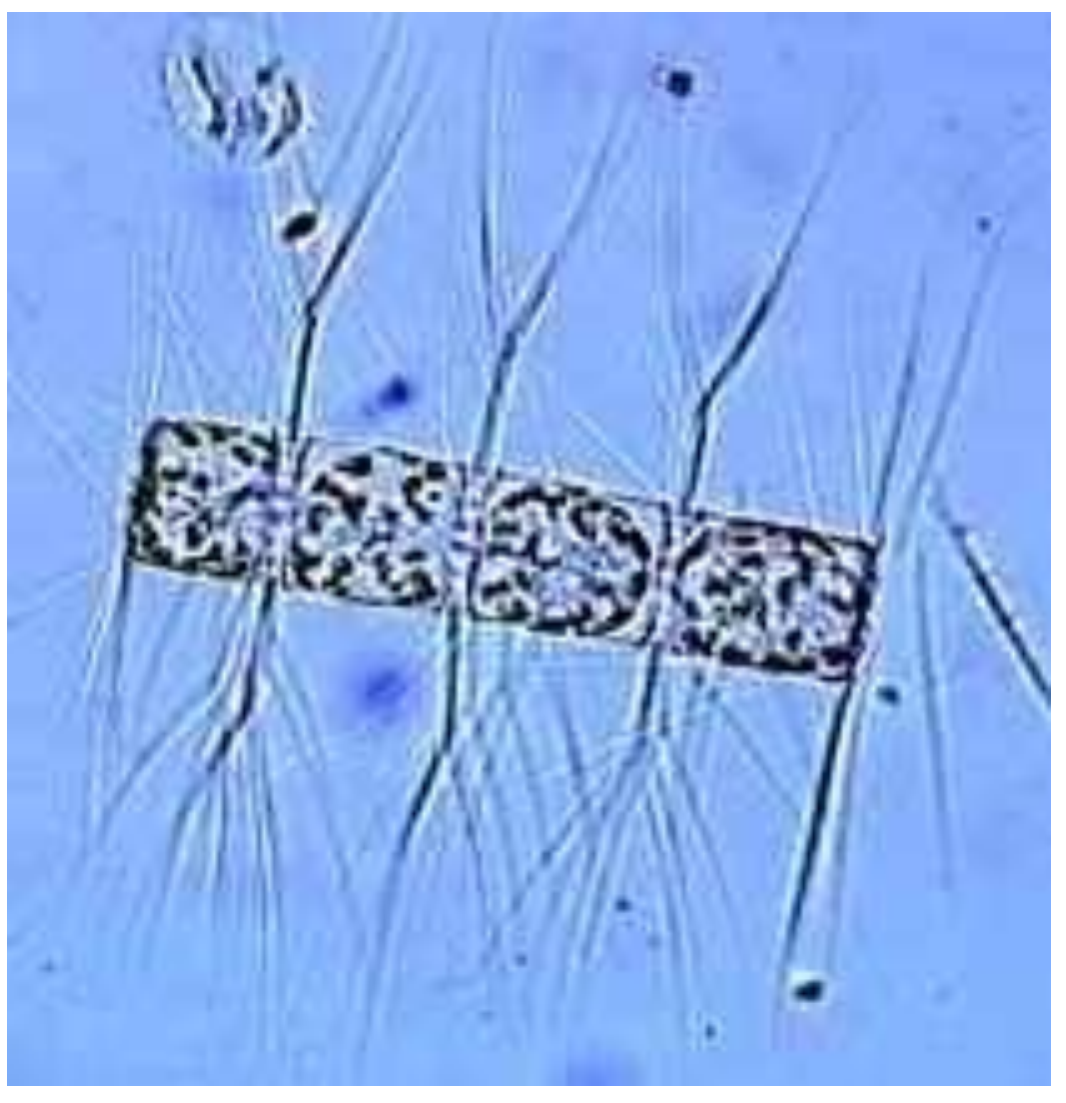




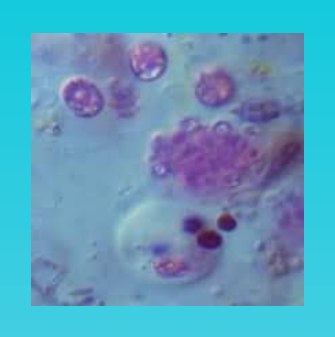








Flotación o defensa?



bacterias púrpuras



cianobacterias









Cyanidium caldarium Alga roja termófila

Hay app 25 000 especies conocidas de fitoplancton incluyendo las eubacterias y los eucariontes que pertenecen a ocho phyla (polifilético).

Grupo muy diverso con rasgos morfológicos, fisiológicos, conductuales, historia de vida relativamente bien definidos. Principales grupos taxonómicos representan diferentes grupos funcionales.

El tamaño de las células oscila entre 0.1 micron<sup>3</sup> y 10<sup>8</sup> micrones<sup>3</sup> y su tama fisiología y ecología a distintos niveles de organización.

La adquisición de nutrientes y absorción de la luz son dependientes del tar

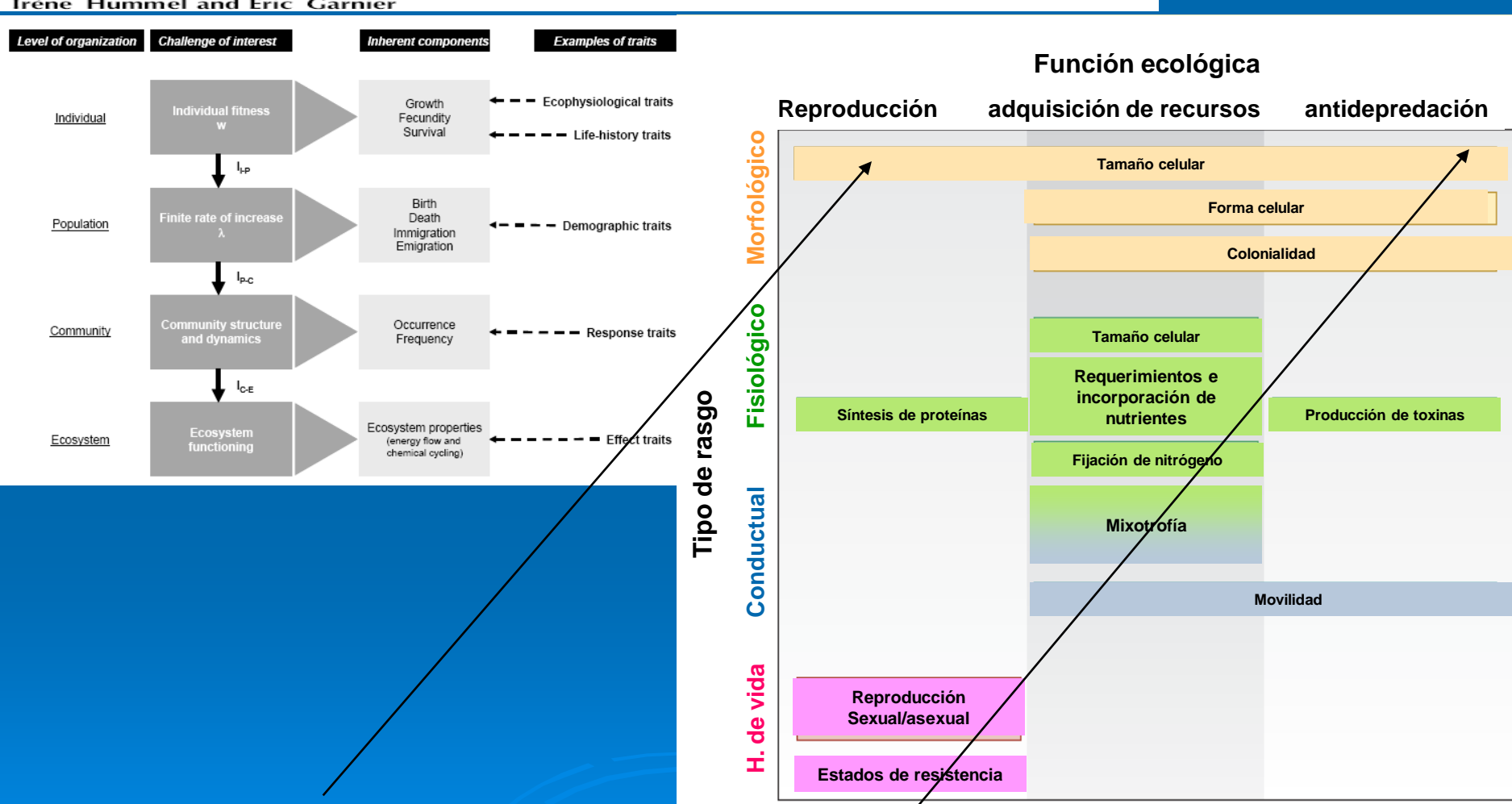


Subject Editor: Pia Mutikainen, Accepted 8 January 2007



#### Let the concept of trait be functional!

Cyrille Violle, Marie-Laure Navas, Denis Vile, Elena Kazakou, Claire Fortunel, Irène Hummel and Eric Garnier



Diversidad de tamaños

Table 1
Summary of the properties of different phytoplankton functional groups

Trait	Pico- autotrophs	Nitrogen- fixers	Calcifiers	Silicifiers	DMS producers
Cell size (µm) Light Nutrient required	0.7–2.0 High	Variable High N <sub>2</sub> gas	5–10 Low Calcium	20–200 Low Silica	5 High–Low
Iron Loss Bio-optical	Low Grazing High a <sub>ß</sub> *	High Viral lysis a <sub>B</sub> * high in	High Sinking High b <sub>bß</sub>	High Sinking Low, flat $a_{\beta}^{*}$	High Lysis, grazing ?
properties Remote sensing	Yes	UV High <i>b</i> ‡ <sub>ß</sub> Yes	Yes	Yes	No

Nominal size ranges for different functional types are taken from Le Quéré et al. (2005).

Remote sensing of phytoplankton functional types 2008 Anitha Nair, Shubha Sathyendranath, Trevor Platt, Jesus Morales, Venetia Stuart, Marie-Hélène Forget, Emmanuel Devred, Heather Bouman

Le Quéré, C., Harrison, S. P., Prentice, C. I., Buitenhuis, E. T., Aumonts, O., Bopp, L., et al. (2005). Ecosystem dynamics based on plankton functional types for global ocean biogeochemistry models. Global Change Biology, 11, 2016–2040.

VILA ET AL

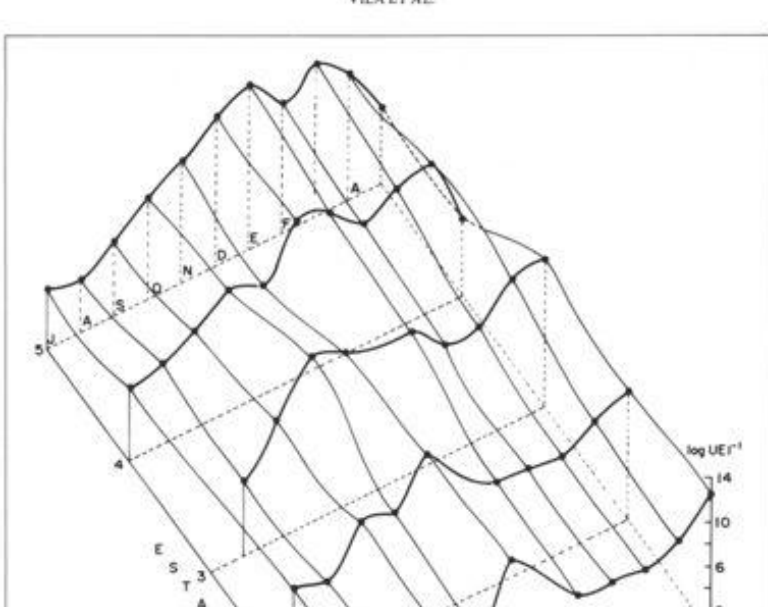


Fig. 6: Distribución espacial del fitoplancton superficial (log. de la abundancia expresada en unidades estándar por litro (U.E.  $\Gamma^1$ )) en el eje longitudinal del embalse Rapel, desde la represa a la "cola" (Estación l a 5) durante junio a julio 1976-1977.

Spatial distribution of surface phytoplankton (log. of abundance) on the longitudinal axis of Rapel reservoir, station 1 to 5 during june and july, 1976-1977.





#### Spatial and temporal photosynthetic compartments during summer in Antarctic Lake Kitiesh

V. Montecino<sup>1</sup>, G. Pizarro<sup>1</sup>, S. Cabrera<sup>2</sup> and M. Contreras<sup>1</sup>

Facultad de Ciencias, Universidad de Chile, Casilla 653, Santiago, Chile

<sup>3</sup> Facultad de Medscina, Universidad de Chile, Casilla 70061-7, Santiago, Chile

Received 13 September 1990;

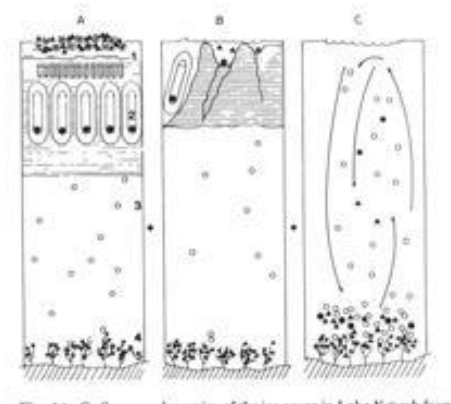


Fig. 1A-C. Summer dynamics of the ice cover in Lake Kitsesh from A to B. up to the open water period in C. Numbers refer to the photosynthetic compartments: / Snow-algae, 2 loc-algae, 3 Phyto-plankton, 4 benthic moss with methaphyton (5). Their location changes according to the disruption of the different layers deposted in A. these layers are shown as stars for snow, ruber for small acciular ice, bars for bigger ice columns (with a liquid central portion and air bubble on topi and korizontal flines for more compact ice. As the secover uses to the surface (Bib bowls are formed where the snow and see algae remain. In C the lake without ice cover and as thus without ice and snow algae. Theoretically these algae would sink down to the bottom or would remain in the plankton.

Dinámicas espaciales y temporales Vila et al Montecino et al